

## ИЗМЕРИТЕЛЬНАЯ ТЕХНИКА

### *Виброконтактный преобразователь для прибора управляющего контроля*

к.т.н. Г. М. Тромпет, д.т.н. А. Я. Красильников

Виброконтактные системы управляющего контроля уже продолжительное время используют на различных шлифовальных станках [1]. В последние годы приборы управляющего контроля, основанные на виброконтактном принципе измерения, применяют и на многоцелевых станках (рис. 1) [2]. В настоящее время в Уральском ГТУ (г. Екатеринбург) ведется работа по созданию аналогичных устройств для станков с параллельной кинематикой [3].

Вместе с тем при исследовании метрологических и технологических возможностей указанных устройств возникают теоретические вопросы, связанные с формированием сигналов.

Первичным измерительным элементом таких приборов является виброконтактный измерительный преобразователь (рис. 2) [4 и 5], состоящий из

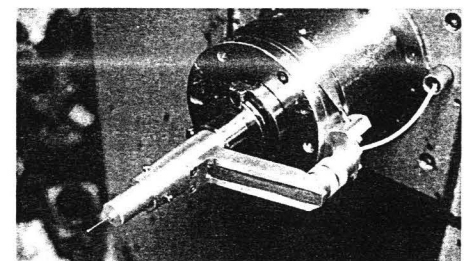


Рис. 1. Измерительный модуль многоцелевого станка мод. ИС500ПМФ

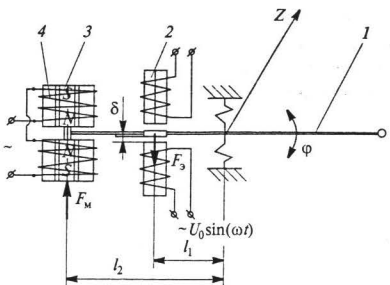


Рис. 2. Схема виброконтактного измерительного преобразователя

тельная система, постоянный магнит 3 и катушка 4 индуктивности (генератор).

Усилие, развиваемое магнитным полем раскачивающегося электромагнита, можно определить согласно работе [6], как  $F_s = \Phi_s^2 / (2\mu_0 S_3)$ , где  $\Phi_s$  — магнитный поток в цепи электромагнита;  $\mu_0$  — магнитная проницаемость воздуха;  $S_3$  — площадь сечения магнитного потока, пронизывающего обмотку генератора.

В общем случае электромагнитный поток является сложной нелинейной, а зачастую и неоднозначной функцией тока. Однако при небольших значениях магнитной индукции в зазоре (что имеет место в электромагнитном вибраторе) можно считать эту функцию линейной. Тогда  $\Phi_s = W_3 i_3 / R$ , где  $R = (\delta - l_1 \varphi) / (\mu_0 S_3)$ ;  $\delta$  — воздушный зазор между якорем и сердечником электромагнита (см. рис. 2).

Таким образом, электромагнитный поток в вибраторе  $\Phi_s = [(\mu_0 S_3 W_3) / (\delta - l_1 \varphi)] i_3$ .

Выражение для магнитного потока генератора представим в виде [8]  $\Phi_g = H_c l_m / R_3$ , где  $H_c$  — коэрцитивная сила постоянного магнита;  $l_m$  — его длина;  $R_3$  — усредненное сопротивление воздушного зазора между постоянным магнитом и обмоткой катушки индуктивности.

Учитывая, что сопротивление проводов этой обмотки на порядок меньше, чем сопротивление воздушного зазора, а возмущающий момент ввиду его стохастичности следует рассматривать отдельно, получим из выражений (2) и (3)

$$J_z \ddot{\varphi} + h\dot{\varphi} + k\varphi = Q_1 + Q_2 + Q_3, \quad (2)$$

$$J_z \ddot{\varphi} + h\dot{\varphi} + k\varphi = \frac{\mu_0 S_3 W_3 l_1}{2(\delta - l_1 \varphi)} i_3^2 + \frac{H_c^2 l_m^2 l_2}{2\mu_0 S_g R_3}. \quad (4)$$

Уравнение генератора представим в следующем виде [9]:

$$E = -W_g d\Phi_g / dt = L di_g / dt + r_\Sigma i_g, \quad (5)$$

где  $E$  — ЭДС;  $W_g$  — число витков обмотки генератора;  $L$  — индуктивность катушки;  $i_g$  — ток в обмотке генератора;  $r_\Sigma$  — суммарное сопротивление, включающее в себя сопротивление обмотки, проводов и нагрузки.

Уравнения (1), (4) и (5) описывают работу виброконтактного измерительного преобразователя, что дает возможность рассчитать его выходные параметры по заданным входным условиям, исследовать зоны устойчивой работы виброконтактного механизма

Выразим возмущающие моменты  $Q_1$  и  $Q_2$  через соответствующие магнитные потоки [7]:

$$Q_1 = I_1 \Phi_s^2 / (2\mu_0 S_3); \quad Q_2 = I_2 \Phi_g^2 / (2\mu_0 S_g), \quad (3)$$

где  $I_1$  и  $I_2$  — расстояния от точки закрепления колебательного контура до точек приложения силы  $F_s$  и силы  $F_m$  постоянного магнита (см. рис. 2);  $\Phi_g$  — магнитный поток в генераторе;  $S_g$  — площадь сечения магнитного потока, пронизывающего обмотку генератора.

В общем случае электромагнитный поток является сложной нелинейной, а зачастую и неоднозначной функцией тока. Однако при небольших значениях магнитной индукции в зазоре (что имеет место в электромагнитном вибраторе) можно считать эту функцию линейной. Тогда  $\Phi_g = W_3 i_3 / R$ , где  $R = (\delta - l_1 \varphi) / (\mu_0 S_3)$ ;  $\delta$  — воздушный зазор между якорем и сердечником электромагнита (см. рис. 2).

Таким образом, электромагнитный поток в вибраторе  $\Phi_g = [(\mu_0 S_3 W_3) / (\delta - l_1 \varphi)] i_3$ .

Выражение для магнитного потока генератора представим в виде [8]  $\Phi_g = H_c l_m / R_3$ , где  $H_c$  — коэрцитивная сила постоянного магнита;  $l_m$  — его длина;  $R_3$  — усредненное сопротивление воздушного зазора между постоянным магнитом и обмоткой катушки индуктивности.

Учитывая, что сопротивление проводов этой обмотки на порядок меньше, чем сопротивление воздушного зазора, а возмущающий момент ввиду его стохастичности следует рассматривать отдельно, получим из выражений (2) и (3)

$$J_z \ddot{\varphi} + h\dot{\varphi} + k\varphi = Q_1 + Q_2 + Q_3, \quad (2)$$

$$J_z \ddot{\varphi} + h\dot{\varphi} + k\varphi = \frac{\mu_0 S_3 W_3 l_1}{2(\delta - l_1 \varphi)} i_3^2 + \frac{H_c^2 l_m^2 l_2}{2\mu_0 S_g R_3}. \quad (4)$$

Уравнение генератора представим в следующем виде [9]:

$$E = -W_g d\Phi_g / dt = L di_g / dt + r_\Sigma i_g, \quad (5)$$

где  $E$  — ЭДС;  $W_g$  — число витков обмотки генератора;  $L$  — индуктивность катушки;  $i_g$  — ток в обмотке генератора;  $r_\Sigma$  — суммарное сопротивление, включающее в себя сопротивление обмотки, проводов и нагрузки.

Уравнения (1), (4) и (5) описывают работу виброконтактного измерительного преобразователя, что дает возможность рассчитать его выходные параметры по заданным входным условиям, исследовать зоны устойчивой работы виброконтактного механизма

преобразователя, а также изучать влияние стохастического процесса изменения размеров деталей, контролируемых в процессе обработки, на метрологические показатели всей измерительной системы.

### Список литературы

1. Тромпет Г. М., Романов В. А. Прибор с вибрирующим шупом для управления работой станка // Станки и инструмент. — 1976. — № 1. — С. 29.
2. Тромпет Г. М., Федотов В. А., Александров В. А. Заводские испытания измерительного модуля на многоцелевом станке // Машиностроитель. — 2005. — № 7. — С. 16–18.
3. Тромпет Г. М., Александров В. А. Результаты использования измерительно-информационной системы для металлоизделий // СТИН. — 2007. — № 2. — С. 18–20.
4. А. с. 1245865 СССР, МКИ G 01 B 7/14. Виброконтактный датчик-измеритель отклонений.
5. Пат. 2284462 РФ, МПК G 01 B 7/00. Виброконтактный датчик-измеритель отклонений размеров.
6. Тромпет Г. М., Клинских Н. А., Бородина И. Б. Математическое описание виброгенераторных преобразователей // Автоматизация технологических процессов в машиностроении: Межвуз. сб. — Свердловск: УПИ, 1977. — Вып. 1. — С. 107–112.
7. Тромпет Г. М., Красильников А. Я. Виброконтактный преобразователь для измерительного модуля многоцелевого станка // СТИН. — 2007. — № 2. — С. 18–20.
8. Гевондян Т. А., Киселев А. Т. Приборы для измерения и регистрации колебаний. — М.: Машгиз, 1962. — 467 с.
9. Браславский Д. А. Приборы и датчики летательных аппаратов. — М.: Машиностроение, 1985. — 390 с.

щих станков // Инновации в машиностроении: Сб. статей 2-й Все-россий. науч.-практич. конф. — Пенза: ПГТУ, 2002. — С. 101–102.

4. А. с. 1245865 СССР, МКИ G 01 B 7/14. Виброконтактный датчик-измеритель отклонений.

5. Пат. 2284462 РФ, МПК G 01 B 7/00. Виброконтактный датчик-измеритель отклонений размеров.

6. Тромпет Г. М., Клинских Н. А., Бородина И. Б. Математическое описание виброгенераторных преобразователей // Автоматизация технологических процессов в машиностроении: Межвуз. сб. — Свердловск: УПИ, 1977. — Вып. 1. — С. 107–112.

7. Тромпет Г. М., Красильников А. Я. Виброконтактный преобразователь для измерительного модуля многоцелевого станка // СТИН. — 2007. — № 2. — С. 18–20.

8. Гевондян Т. А., Киселев А. Т. Приборы для измерения и регистрации колебаний. — М.: Машгиз, 1962. — 467 с.

9. Браславский Д. А. Приборы и датчики летательных аппаратов. — М.: Машиностроение, 1985. — 390 с.